

НЕЛИНЕЙНЫЙ ИНТЕРФЕРЕНЦИОННЫЙ ЭФФЕКТ В ЗЕЕМАНОВСКОМ ИОННОМ ЛАЗЕРЕ

С.А.Бабин, С.И.Каблуков, М.А.Кондратенко, Д.А.Шапиро¹⁾

Институт автоматики и электрометрии Сибирское отделение РАН

630090 Новосибирск, Россия

Поступила в редакцию 11 июля 1996 г.

Зарегистрирован и исследован узкий интерференционный резонанс в зависимости мощности одномодового ионного лазера от магнитного поля. Выполнен расчет нелинейного интерференционного эффекта в зеемановском лазере с учетом кулоновской диффузии в пространстве скоростей. Обнаружено значительное изменение формы двухфотонного резонанса по сравнению с бездиффузионным случаем.

PACS: 32.60.+i, 32.70.Jz, 42.62.Fi

Методы нелинейной спектроскопии, благодаря своей высокой чувствительности, широко применяются в исследованиях атомных и молекулярных переходов в условиях большого доплеровского уширения. Нелинейная спектроскопия ионов в плазме имеет ряд принципиальных отличий, связанных как с многочастичным характером кулоновского взаимодействия заряженных частиц [1], так и с влиянием внешних электрических и магнитных полей на движение ионов [2, 3]. Одним из ярких проявлений плазменной специфики является обнаруженное уширение в 2–4 раза провала Лэмба (эффект насыщения) в аргоновых лазерах за счет кулоновского ион-ионного рассеяния (см. [4] и цитируемую там литературу). Наряду с насыщением, в нелинейных спектрах можно наблюдать также нелинейный интерференционный эффект (НИЭФ), вызванный смешиванием квантовых состояний полем световой волны. Вопрос о влиянии интерференции на спектры ионов в плазме исследован менее детально. В работе [5] найдено асимптотическое разложение работы пробного поля в трехуровневой системе в пределе сильной диффузии и показано, что двухфотонный пик приобретает форму квадратного корня из лорентцевского профиля

$$\operatorname{Re}[Dk^2(\Gamma - i\epsilon)]^{-1/2} \sim \left(\frac{\Gamma + (\Gamma^2 + \epsilon^2)^{1/2}}{\Gamma^2 + \epsilon^2} \right)^{1/2}, \quad (1)$$

где Γ – ширина запрещенного перехода, ϵ – разница отстроек сильного и пробного полей от резонанса со смежными переходами, D – коэффициент диффузии в пространстве скоростей. Такое разительное отличие от обычного лорентцевского контура, который наблюдается в бездиффузионном случае, должно проявляться в трехуровневом ионном лазере. Однако прямого экспериментального исследования эффекта до настоящего времени не было. Косвенное измерение выполнено в работе [6], где наблюдалась совместная генерация линий ArII – 488 и 514 нм, отвечающих смежным переходам с общим нижним уровнем. Ширина резонанса оказалась примерно вдвое больше, чем однородная ширина линии. В то же время диагностика ионной плотности в плазме

¹⁾e-mail: Shapiro@iae.nsk.su

не проводилась, что затрудняло интерпретацию результатов. Авторы отнесли наблюдаемое отличие к штарковскому уширению.

В настоящей работе для проверки теории диффузионного контура НИЭФ использован зеемановский одномодовый ионный лазер, в котором частота поля фиксирована, а уровни смещаются магнитным полем [7]. Двухфотонные переходы могут идти между магнитными подуровнями двухуровневой системы. Кроме того, параллельная независимая диагностика плазмы позволяет интерпретировать результаты с большей определенностью. Магнитооптические эффекты в многомодовом ионном лазере исследовались в [8, 9], однако узкие резонансы не выделялись и кулоновская диффузия не учитывалась.

1. Теоретическая модель. Рассмотрим случай взаимодействия линейно поляризованного излучения с переходом частицы $m-n$. Известно, что включение внешнего продольного магнитного поля H соответствует перестройке переходов без изменения проекции M углового момента J ($\Delta M = 0$) в переходы $\Delta M = \pm 1$. Будем рассматривать системы уровней с полуцелым моментом: для перехода с моментом $J_m = J_n = 1/2$ такая перестройка не дает принципиальных изменений, см. рис.1а. Наличие уровней с большими моментами приводит к формированию двухфотонных переходов $\Delta M = \pm 2$. Систему $J_m = 3/2$, $J_n = 1/2$ можно представить в виде двух V -схем, где роль полей, резонансных смежных переходам играют волны со встречными круговыми поляризациями излучения. Кроме того, если вероятность спонтанного излучения A_{mn} много меньше полной скорости распада верхнего уровня Γ_m , то можно рассматривать эти V -схемы независимо друг от друга.

Воспользуемся методом расчета диффузионного контура нелинейного резонанса по теории возмущений [5], где были получены выражения для работы пробной волны (ω_μ, k_μ) в присутствии сильного поля (ω, k) на смежном переходе в трехуровневой схеме V -типа, оба поля были представлены в виде бегущих волн. По аналогии выписываем систему уравнений для матрицы плотности ρ_{ij} для стоячих волн в V -схеме с диффузионным интегралом столкновений:

$$S = D \Delta_v \rho_{ij}, \quad (2)$$

где $D = \nu_{ii} v_T^2 / 2$, $\nu_{ii} = 16\sqrt{\pi} N_i e^4 \Lambda / 3m_i^2 v_T^3$ – эффективная транспортная частота ион-ионных столкновений, N_i, v_T – концентрация и тепловая скорость ионов.

В нашем случае существенным является условие точного равенства частот и волновых чисел пробного и сильного полей, $\omega = \omega_\mu, k = k_\mu$. При этом соответствующие отстройки от резонансов для первой и второй V -схем (см. рис.1а) равны соответственно:

$$\begin{aligned} \Omega_1 &= \Omega_o + \frac{\mu_B H}{\hbar} ((g_m - g_n)/2 + g_m), & \Omega_{\mu 1} &= \Omega_o + \frac{\mu_B H}{\hbar} ((g_m - g_n)/2 - g_m), \\ \Omega_2 &= \Omega_o - \frac{\mu_B H}{\hbar} ((g_m - g_n)/2 - g_m), & \Omega_{\mu 2} &= \Omega_o - \frac{\mu_B H}{\hbar} ((g_m - g_n)/2 + g_m), \end{aligned}$$

где $\Omega_o = \omega - \omega_o, \omega_o$ – боровская частота перехода, g_i – фактор Ланде верхнего m и нижнего n уровней соответственно, μ_B – магнетон Бора.

Матричные элементы дипольного взаимодействия светового поля с соответствующими переходами $|G(J_m, M_m \rightarrow J_n, M_n)| = \left| \left(E d(J_m, M_m \rightarrow J_n, M_n) \right) / (2\hbar) \right|$, где E – напряженность электрического поля, $d(J_m, M_m \rightarrow J_n, M_n)$ – матричный

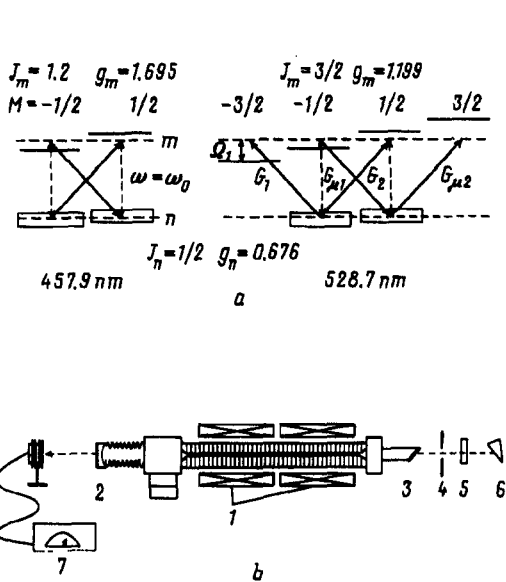


Рис.1

Рис.1. а – Схема переходов между магнитными подуровнями для линий 457.9 нм и 528.7 нм. б – Схема экспериментальной установки

Рис.2. Расчетные кривые для мощности генерации одномодового зеемановского лазера в зависимости от магнитного поля при $\Omega_0 = 0$, $\Gamma_m/\Gamma_n = 0.1$ и различных значениях диффузионного параметра $p = Dk^2/\Gamma_n^3 = 0(1); 0.35(2); \infty(3)$. Сплошная и штриховая кривые построены с помощью численного расчета интегралов (4) и приближений аналитической формулы (5) соответственно. Экспериментальные значения для линии 528.7 нм при различных значениях превышения $X = 1.3(4); 1.5(5)$ и для линии 457.9 нм при $X = 1.3(6)$

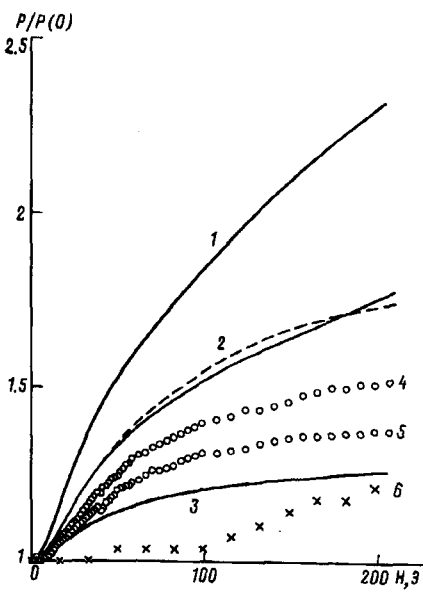


Рис.2

элемент дипольного момента, обозначим как $G_1, G_{\mu 1}, G_2, G_{\mu 2}$, (см. рис. 1). Учитывая соотношения дипольных моментов для магнитных подуровней перехода $3/2 \rightarrow 1/2$, получим: $|G_1|/|G_{\mu 1}| = |G_{\mu 2}|/|G_2| = \sqrt{3}$, $|G_1| = |G_{\mu 2}|$, $|G_{\mu 1}| = |G_2|$.

Вычисляем работу поля стоячей волны по теории возмущений по полям $G_j, G_{\mu j}$ для отдельной V -схемы, в отличие от [5] G_j и $G_{\mu j}$ считаем величинами одного порядка. Для оптически тонкой среды суммарную по двум V -схемам работу поля приравниваем потерям ρ за полный обход резонатора. В итоге для мощности генерации получим

$$P = ts \frac{2\pi^2 c \hbar}{\lambda^3 A_{mn}} \frac{16\Gamma_n^2}{3} \left(\frac{2g_0 l}{\rho} - 1 \right) f(H)^{-1}, \quad (3)$$

где g_0 – ненасыщенный коэффициент усиления, l – длина активной среды, t – пропускание зеркала, s – сечение пучка, функция $f(H)$ выражается через однократные интегралы:

$$f(H) = \int_0^\infty dy \exp \left(-\frac{2\Gamma_{mn}}{\Gamma_n} y - \frac{2}{3} py^3 \right) \times$$

$$\begin{aligned}
& \times \left[\left(\frac{1}{1+py^2} + \frac{1}{\Gamma_m/\Gamma_n + py^2} \right) \left(\frac{1}{3} \cos^2 \left(\frac{\Omega_{\mu_1}}{\Gamma_n} y \right) + 3 \cos^2 \left(\frac{\Omega_{\mu_2}}{\Gamma_n} y \right) \right) + \right. \\
& \left. + \frac{1}{1+py^2} \left(\cos \left(\frac{2\Omega_o}{\Gamma_n} y \right) \cos \left(\frac{\Omega_{\mu_1} - \Omega_{\mu_2} + \Omega_1 - \Omega_2}{2\Gamma_n} y \right) + \cos \left(\frac{\varepsilon}{\Gamma_n} y \right) \right) \right] + \\
& + \operatorname{Re} \left\{ \int_0^\infty dy \frac{\exp \left(-\frac{2\Gamma_{mn}}{\Gamma_n} y - \frac{2}{3} py^3 \right)}{((\Gamma_m - i\varepsilon)/\Gamma_n) + py^2} \left(\exp \left(i \frac{\varepsilon}{\Gamma_n} y \right) + \frac{\exp \left(i \frac{2\Omega_{\mu_1}}{\Gamma_n} y \right) + \exp \left(i \frac{2\Omega_{\mu_2}}{\Gamma_n} y \right)}{2} \right) \right\}, \tag{4}
\end{aligned}$$

где $\varepsilon = -2 \frac{\mu_B H}{\hbar} g_m$, $p = Dk^2/\Gamma_n^3$ – диффузионный параметр. Два интеграла соответствуют резонансу насыщения (аналог провала Лэмба при обычном сканировании частоты) и НИЭФ с учетом полевого расщепления соответственно. Асимптотическое разложение функции $f(H)$ для больших значений $p \geq 1$ при $\varepsilon, \Omega_o \ll \Gamma_n$ имеет вид:

$$\begin{aligned}
f(H) = & \frac{\pi}{2\sqrt{p}} \left(\frac{10}{3} \left(1 + \sqrt{\frac{\Gamma_n}{\Gamma_m}} \right) + 2 \right) + \\
& + \frac{\pi\sqrt{\Gamma_n}}{\sqrt{2\Gamma_m p}} \sqrt{\frac{1 + \sqrt{1 + (\varepsilon/\Gamma_m)^2}}{1 + (\varepsilon/\Gamma_m)^2}} - \frac{32}{3} \cdot \frac{(2/3)^{1/3} \Gamma(2/3)}{p^{2/3}}. \tag{5}
\end{aligned}$$

Сравнение формулы (5) с результатами численного расчета суммы интегралов (4), приведено на рис.2. Зависимость $f(H)$ имеет двухмасштабный вид. Диффузионная ширина провала Лэмба растет как $\Gamma_n p^{1/2} \sqrt{\Gamma_n/\Gamma_m}$ и при $p \sim 1$ в 3 раза превышает однородную. Асимптотическое разложение приводит к контуру типа корня из лорентциана для НИЭФ (второе слагаемое в (5)), который шире лорентциана с шириной Γ_m в 2.5 раза [5]), при этом спектральная зависимость провала Лэмба пропадает, и он заменяется константой, зависящей от p , с чем и связано расхождение аналитической и численной кривых при больших отстройках. Выполненное сравнение показывает, что при $p \geq 0.3$, формула (5) достаточно хорошо описывает форму НИЭФ, при сильно различающихся константах релаксации уровней.

2. Эксперимент. Выбор линий для исследования НИЭФ осуществляется исходя из следующих соображений, см. рис.1a: линия 457.9 нм ($4p^2 S_{1/2} - 4s^2 P_{1/2}$), единственная из линий аргонового лазера с моментом $J_m = J_n = 1/2$; линия 528.7 нм ($4p^4 D_{3/2} - 4s^2 P_{1/2}$) – с тем же нижним уровнем имеет угловой момент верхнего уровня $3/2$ (рис.1). В данном случае условие $A_{mn} \ll \Gamma_m$, хорошо выполняется ($A_{mn} = 1.4 \cdot 10^6 \text{ c}^{-1}$, $\Gamma_m^o = 1.7 \cdot 10^8 \text{ c}^{-1}$ – радиационная константа релаксации [11]). Константа релаксации нижнего уровня $\Gamma_n = 3 \cdot 10^9 \text{ c}^{-1} \gg \Gamma_m$ [11]. В эксперименте наряду с магнитооптическим может наблюдаться магнитоплазменный эффект (МПЭ). Для усиления диффузии необходимо увеличивать концентрацию заряженных частиц, например, повышая ток разряда. При этом, благоприятным фактором является уменьшение относительного изменения $P(H)$ из-за МПЭ с ростом тока [11], однако при большой степени ионизации следует обращать внимание на однородность

разряда и изменение концентрации нейтралов N_a в магнитном поле. Последний эффект минимизируется выбором схемы с продольным потоком газа [12]. При этом $N_a = \text{const}$ и концентрация ионов линейно растет с током. Схема эксперимента приведена на рис.1б. Диаметр разрядного канала лазера составлял 5 мм, длина активной части 0.5 м. Рабочий ток варьировался в диапазоне 70÷100 А. Магнитное поле создавалось двухсекционным соленоидом 1. Со стороны катода располагалось зеркало с вакуумным креплением 2, со стороны анода крепилось окно Брюстера 3, диафрагма 4, этalon 5 для селекции мод и призма Литтрова 6 для селекции линии. Размер диафрагмы был существенно меньше диаметра разрядного канала. Измерителем мощности 7 регистрировалась выходная мощность лазера.

На рис.2 вместе с теорией представлены зависимости $P(H)$ в одномодовом режиме при $\Omega_0 = 0$ для линий 528.7 нм и 457.9 нм. Сравнение показывает, что узкий резонанс наблюдается для перехода $3/2 \rightarrow 1/2$ и отсутствует для перехода $1/2 \rightarrow 1/2$. Плавный рост для линии 457.9 нм связан главным образом с широким резонансом насыщения. Вклад МПЭ проверялся в схеме многомодового лазера без поляризующих элементов (с внутренними зеркалами): для обеих линий были получены зависимости, близкие к константе, со слабым ростом при $H \sim 200$ Э. Далее из рис.2 можно провести сравнение формы узкого резонанса с расчетом. Теоретическая кривая 2 соответствует экспериментальным условиям без подгоночных параметров. Значения коэффициента диффузии $D = 6.6 \cdot 10^{17}$ см·с⁻³ и константы релаксации верхнего уровня с учетом тушащих столкновений $\Gamma_m = 4.7 \cdot 10^8$ с⁻¹ определялись независимо. Измерялась температура ионов $T \approx 1$ эВ спектроскопическим методом, концентрация электронов $N_e = 3 \cdot 10^{14}$ см⁻³ интерферометрическим методом [13], ненасыщенный коэффициент усиления $g_o = 6 \cdot 10^{-4}$ см⁻¹ и интенсивность насыщения $I_s \propto \Gamma_m \cdot v_T = 6.3$ кВт/см², что позволяет вычислить константу релаксации Γ_m и превышение усиления над потерями $X = 2g_o l / \rho$.

3. Обсуждение результатов. Представленные на рис.2 экспериментальные зависимости $P(H)$ в одномодовом режиме близки по форме к расчетным в диффузионном приближении. Расчет без учета диффузии дает принципиально другой вид зависимости: узкий резонанс имеет большую амплитуду, отсутствие уширения провала Лэмба обуславливает резкий рост при больших полях. Отметим, что эксперимент проводился при сравнительно высоких превышениях над порогом, поскольку при $X - 1 \ll 1$ наблюдалось искажающее форму влияние магнитного поля на параметр X . Такое влияние может быть обусловлено как изменением $g_o(H)$ из-за МПЭ, так и изменением потерь $\rho(H)$ (из-за поляризационных, линзовых эффектов и т.п., см., например, [4]). В рамках теории возмущений резонанс $f(H)$ не зависит от превышения X , однако в эксперименте зависимость наблюдается уже при $X \geq 1.3$. Отмеченная в [5] корневая зависимость амплитуды НИЭФ $p^{-1/2}$ при нормировке на значение мощности при нулевой отстройке $P(0) \sim p^{-1/2}$ (см. формулу (??)) практически исчезает. В условиях эксперимента параметр p варьировался на 30%, что влияет на глубину резонанса гораздо слабее, чем изменения превышения над порогом.

Таким образом, в работе зарегистрирован НИЭФ в зеемановском одномодовом ионном лазере. Показано, что форма НИЭФ резонанса определяется диффузией в пространстве скоростей, построенная диффузионная модель

достаточно хорошо согласуется с экспериментом с точностью до поправок, связанных с полевым уширением.

Авторы выражают благодарность А.М.Шалагину за полезные обсуждения. Настоящая работа частично поддержана РФФИ (грант 96-02-19052) и МНТП "Оптика. Лазерная физика".

-
1. Г.И.Смирнов, Д.А.Шапиро, ЖЭТФ **76**, 2084 (1979).
 2. М.И.Дьяконов, ЖЭТФ **49**, 1169 (1965).
 3. А.Ф.Кольченко, Г.И.Смирнов, ЖЭТФ **71**, 925 (1976).
 4. S.A.Babin and D.A.Shapiro, Phys. Rep. **241**, 119 (1994).
 5. С.Г.Раутян, Д.А.Шапиро, ЖЭТФ **94**, 110 (1988).
 6. В.В.Лебедева, А.И.Одинцов, Н.А.Глававских и др., ЖПС **41**, 385 (1984).
 7. М.И.Дьяконов, В.И.Перель, ЖЭТФ **50**, 488 (1966).
 8. Г.Н.Алферов, В.П.Драчев, В.К.Мезенцев, Г.И.Смирнов, Квант. электрон. **16**, 945 (1989).
 9. G.Morigi, F.Strumia, and N.Beverini, In *Hanle effect and level crossing spectroscopy*, Plenum Publ.Co: New York - London, chapt.VI, 1990.
 10. B.F.Luyken, Physica **60**, 447 (1972).
 11. А.А.Аполонский, С.А.Бабин, В.И.Донин, А.В.Никонов, Квант. электрон. **15**, 922 (1988).
 12. С.А.Бабин, Т.Ю.Еременко, М.А.Кондратенко, А.Е.Куклин, Квант. электрон. **23**, 518 (1996).
 13. Г.И.Алферов, С.А.Бабин, В.П.Драчев, Оптика и спектроскопия **63**, 348 (1987).